

有限电阻网络的计算机优化求解

PB20000296 郑腾飞

摘要: 基尔霍夫方程组的完备性保证了由此出发可解出任意有限电阻网络,但直接对所有边构造方程会导致复杂度急剧上升,由此需要从不同层面进行优化。本文实现了基于基尔霍夫定律的有限电阻网络求解,并在此基础上进行优化,大幅降低了复杂度。利用此求解法,亦可实现对含源电路的模拟。

一、传统方法的计算机实现及其局限

传统的有限电阻网络求解方法分为三步:读取有限电阻网络并建成图、设出各支路电流后得到方程组(其中又按两定律分为不同方程)、求解得出的线性方程组。此处先分别将三步实现,再进行整合。

1. 电阻网络转化成图结构存储

对有限电阻网络,实质可以看作由有限个点、有限条边构成的图,任意两个点之间可能连有度数非负的边,代表两点之间的阻值。不过,所有的点并非相同,若我们需要两个点之间的电阻,此两点不能进行任意操作,也即“固定”的结点。不失一般性,我们假设 v_0, v_1 两点固定,也即计算此两点间的电阻。

读入的文件中,第一行代表结点个数与边的条数,此后的每行有三个数 a, b, r ,代表点 v_a, v_b 间连有了阻值为 r 的电阻。例如,下方的图 1 转化成的输入为(分号表示换行,假设 $ABCDEF$ 分别为 $v_0, v_1, v_2, v_3, v_4, v_5$):

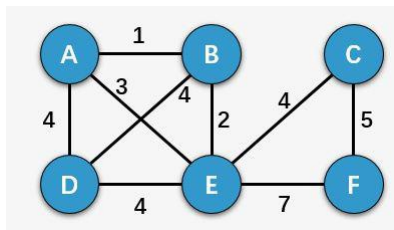


图 1 网络样例

6 9; 1 0 1; 0 3 4; 2 4 4; 1 4 2; 0 4 3; 3 4 4; 4 5 7; 1 3 4; 5 2 5

为之后实现优化方便,选择利用邻接矩阵储存,也即,利用 $v \times v$ (v 为顶点数)矩阵存储两点之间所连电阻。储存效果如图 2。

#	1.0	#	4.0	3.0	#
1.0	#	#	4.0	2.0	#
#	#	#	#	4.0	5.0
4.0	4.0	#	#	4.0	#
3.0	2.0	4.0	4.0	#	7.0
#	#	5.0	#	7.0	#

图 2 储存效果示意图(#表示不相连)

在这种储存方式中,每条边实际被储存了两次(如 (v_0, v_4) 与 (v_4, v_0) 实际是同一条边),但好处在于,计算结点的度数(即与其相连的结点数时),可以直接通过本行不为#的个数得到结果。

2. 基尔霍夫第一方程

为求解电阻网络，我们假设在 v_0, v_1 间加有 $1V$ 的电压，并由此计算各支路的电流。我们先对边进行初始化：假设每条边上都有电流，并且电流始终从编号较小的顶点流向编号较大的顶点。

(0, 1) (0, 3) (0, 4) (1, 3) (1, 4) (2, 4) (2, 5) (3, 4) (4, 5)

图 3 边集（即为对应需求电流集）示意图

我们采用 $n \times (n + 1)$ 的矩阵来存储线性方程组，每一行的前 n 个分量代表第 n 个电流的系数，最后一个分量代表常数项。

对除了 v_0, v_1 外的每个点，都有总流入电流等于总流出电流，一共有 $v - 2$ 个这样的方程。而这些方程的常数项均为 0。

0A	0B	0C	0D	0E	1F	1G	0H	0I=	0
0A	-1B	0C	-1D	0E	0F	0G	1H	0I=	0
0A	0B	-1C	0D	-1E	-1F	0G	-1H	1I=	0
0A	0B	0C	0D	0E	0F	-1G	0H	-1I=	0

图 4 基尔霍夫第一方程示意图（加号省略，不同字母代表不同电流）

3. 独立支路的选取

为了构造合适的第二方程，需要寻找足够独立的回路。此处，先选出一些边构造电阻网络的一棵生成树，在生成树上每加一条不在其中的边，则形成一个独立回路，由于生成树所需要的边数为 $v - 1$ ，这样的独立回路数为 $e - v + 1$ （ e 为边数）。每个独立回路中，电势的代数和为 0，即电流与电阻乘积（考虑方向）的代数和为 0。

此段的程序实现较为复杂，大致需要以下几部分：首先，通过从边集中每次选取不会成环的边添加入选择的边中，直到添加了 $v - 1$ 个，形成生成树。其次，对每条不在生成树中的边，将其加入生成树，然后每次清理度为 1 的顶点，直到只剩下含此条边的环。最后，从加入环的边开始，依次循环一圈，确定每边的对应分量的正负。

1A	-4B	0C	4D	0E	0F	0G	0H	0I=	0
1A	0B	-3C	0D	2E	0F	0G	0H	0I=	0
0A	4B	-3C	0D	0E	0F	0G	4H	0I=	0
0A	0B	0C	0D	0E	4F	-5G	0H	7I=	0

图 5 基尔霍夫第二方程示意图

4. 方程组的最终构建

至此，我们已经拥有了 $e - 1$ 个方程，而由于电流的分量共有 e 个，还需要最后一个方程，也即找一条从 v_0 到 v_1 的通路，通路上的总电压降为 1。

利用类似上一部分的思想（相当于将边 (v_0, v_1) 加入生成树后构造环，再删去这条边即可得到最终结果），可以找到这条通路，并由此构造最后一个方程。

在得到了所有方程后，我们既可以写出完整的基尔霍夫线性方程组。方程与变量个数为 e ，代表每条边通过的，假设从负向留至正向的电流。

$$\begin{array}{r}
0A \quad 0B \quad 0C \quad 0D \quad 0E \quad 1F \quad 1G \quad 0H \quad 0I = 0 \\
0A \quad -1B \quad 0C \quad -1D \quad 0E \quad 0F \quad 0G \quad 1H \quad 0I = 0 \\
0A \quad 0B \quad -1C \quad 0D \quad -1E \quad -1F \quad 0G \quad -1H \quad 1I = 0 \\
0A \quad 0B \quad 0C \quad 0D \quad 0E \quad 0F \quad -1G \quad 0H \quad -1I = 0 \\
1A \quad -4B \quad 0C \quad 4D \quad 0E \quad 0F \quad 0G \quad 0H \quad 0I = 0 \\
1A \quad 0B \quad -3C \quad 0D \quad 2E \quad 0F \quad 0G \quad 0H \quad 0I = 0 \\
0A \quad 4B \quad -3C \quad 0D \quad 0E \quad 0F \quad 0G \quad 4H \quad 0I = 0 \\
0A \quad 0B \quad 0C \quad 0D \quad 0E \quad 4F \quad -5G \quad 0H \quad 7I = 0 \\
1A \quad 0B \quad 0C \quad 0D \quad 0E \quad 0F \quad 0G \quad 0H \quad 0I = 1
\end{array}$$

图 6 完整的基尔霍夫方程组

为验证程序正确性，笔者还使用了另一组输入，代表非平衡电桥的输入：

$$4 \ 5; \ 0 \ 2 \ 1; \ 0 \ 3 \ 2; \ 1 \ 2 \ 3; \ 1 \ 3 \ 4; \ 2 \ 3 \ 5$$

此输入得到了如下的基尔霍夫方程组：

$$\begin{array}{r}
-1A \quad 0B \quad -1C \quad 0D \quad 1E = 0 \\
0A \quad -1B \quad 0C \quad -1D \quad -1E = 0 \\
1A \quad -2B \quad -3C \quad 4D \quad 0E = 0 \\
1A \quad -2B \quad 0C \quad 0D \quad 5E = 0 \\
1A \quad 0B \quad -3C \quad 0D \quad 0E = 1
\end{array}$$

图 7 电桥的基尔霍夫方程组

经过验证，两方程组均独立，由此基本验证了程序的正确性。

5. 方程组的求解与局限性

对线性方程组的求解，有大量现成的程序，如直接利用 Mathematica 软件即可得到解。将解中所有从 v_0 流出的电流（由于默认方向为自小向大，过 v_0 的电流必为流出）相加，即可得到总电流，利用 $R = \frac{U}{I}$ ，由于已设电压为 $1V$ ，直接取倒数即可得到最终结果。

```

In[18]:= LinearSolve[{{-1, 0, -1, 0, 1}, {0, -1, 0, -1, -1}, {1, -2, -3, 4, 0}, {1, -2, 0, 0, 5},
|线性求解
{1, 0, -3, 0, 0}}, {0, 0, 0, 0, 1}];

In[19]:= {22/85, 27/170, -21/85, -29/170, 1/85}

```

图 8 Mathematica 所得的非平衡电桥电路最终结果

此外，笔者还测试了代表平衡电桥的输入：

$$4 \ 5; \ 0 \ 2 \ 1; \ 0 \ 3 \ 2; \ 1 \ 2 \ 3; \ 1 \ 3 \ 6; \ 2 \ 3 \ 5$$

得到最终结果为：

```

In[1]:= LinearSolve[{{-1, 0, -1, 0, 1}, {0, -1, 0, -1, -1}, {1, -2, -3, 6, 0}, {1, -2, 0, 0, 5},
|线性求解
{1, 0, -3, 0, 0}}, {0, 0, 0, 0, 1}];

In[2]:= {1/4, 1/8, -1/4, -1/8, 0}

```

图 9 Mathematica 所得的平衡电桥电路最终结果

可以发现，电桥支路电流为 0，符合现实，进一步验证程序正确性。

此方法虽然必然能获得最终结果，但有一定的局限性，原因在于，一般线性方程组的求

解需要采取高斯消元法， n 阶线性方程组求解是一个复杂度较高的事，结合程序中其他部分的复杂度，当电阻网络增大时复杂程度显著提升。为此，需要寻求优化的策略。

二、化简电阻网络

1. 基本思路

在我们日常进行电阻网络的计算时，对于简单串并联电路，都是可以直接进行计算的。具体的计算方法为：将串联或并联的部分合并，然后重新代入电路计算。这启示我们，如果电阻网络中出现了某种“特定结构”，我们可以优先处理这个结构，再对余下的进行处理。值得注意的是，正如最开始所说，所求两点不能进行任意操作，因此，下文中的“结点”均是指除了起点、终点外的点。

2. 三种情形的处理

首先需要考虑的，是一般的电阻网络不会出现，但在化简过程中可能得到的退化情况。这样的情况分为两种：若某个结点的度数为 1，也即只有一条边连向网络，则可以直接删去这条边，而不影响结果。若某个结点有一条连向自己的边（也即自环），亦可直接删去此边而不影响结果。

其次，需要考虑简单串并联电路。在原始情况中，由于初始数据的限制，不会出现简单并联。而只要某个结点的度为 2，即可知出现了简单串联的情况。此时，可删去此结点，将它所连的两结点替换为两段阻值之和。值得注意的是，若这两个结点原本就连有电阻，则不可直接替换，而是要看作简单并联计算并联电阻。

以上的两种化简虽然能起到一些作用，但现实中大部分的电路是比这两者复杂的。以电桥电路为例，就无法以此进行化简。为此，笔者想到了教材上出现过的习题，利用三角-Y 变换，可以将度为 3 的结点一并化简。

利用变换公式 $Y = R_1 R_2 + R_2 R_3 + R_3 R_1$, $R_{12} = \frac{Y}{R_3}$, $R_{31} = \frac{Y}{R_2}$, $R_{23} = \frac{Y}{R_1}$, 可将度为三的结点删去，将与之相连的结点间的电阻重构（若原本不连则直接替换，连则视为简单并联），达到更好的化简作用（由于删去的 3 条边 1 个顶点，增添的边数不超过 3，此必为化简）。

3. 化简终止与重构网络

当三种化简都不可进行时，化简即终止。由三种情形的定义可以发现，若化简后并不为最简情况，必然每个结点度大于等于 4，这样的结构在电路中并不多见。事实上，无论是测试样例或电桥电路，均可在化简后直接变成单个电阻，从而直接得到结果：

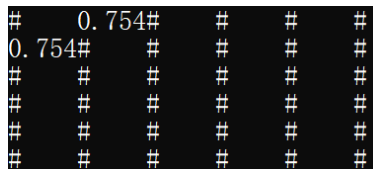


图 10 网络样例的化简结果

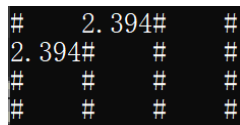


图 11 非平衡电桥化简结果

#	2.667#	#
2.667#	#	#
#	#	#
#	#	#

图 12 平衡电桥化简结果

当然，一般的电路未必有如此好的性质，因此需要在化简后重构电路。例如以下输入：
 6 12; 0 1 2; 0 2 2; 0 3 2; 0 4 2; 1 2 2; 1 3 2; 1 4 2; 2 3 2; 2 4 2;
 3 4 2; 3 5 2; 4 5 2

代表如下图所示的带有星形的网络：

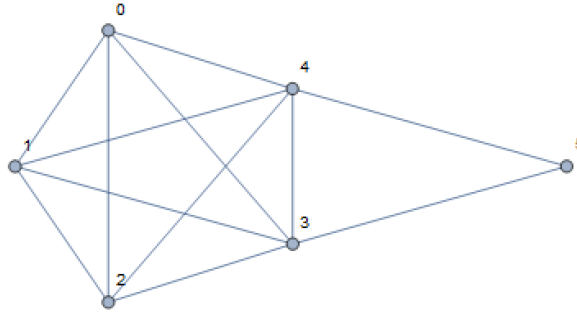


图 13 星形网络示意图

容易看出，此图经过化简， v_5 将被删去，但由于其他点还存在，需要重构网络。通过找出所有度不为 0 的顶点即可重构网络，下图为重构后的基尔霍夫方程组，可发现只剩下 10 条边，比起原边数有减少。

0.00A	-1.00B	0.00C	0.00D	-1.00E	0.00F	0.00G	1.00H	1.00I	0.00J=0.00
0.00A	0.00B	-1.00C	0.00D	0.00E	-1.00F	0.00G	-1.00H	0.00I	1.00J=0.00
0.00A	0.00B	0.00C	-1.00D	0.00E	0.00F	-1.00G	0.00H	-1.00I	-1.00J=0.00
2.00A	-2.00B	0.00C	0.00D	2.00E	0.00F	0.00G	0.00H	0.00I	0.00J=0.00
2.00A	0.00B	-2.00C	0.00D	0.00E	2.00F	0.00G	0.00H	0.00I	0.00J=0.00
2.00A	0.00B	0.00C	-2.00D	0.00E	0.00F	2.00G	0.00H	0.00I	0.00J=0.00
0.00A	2.00B	-2.00C	0.00D	0.00E	0.00F	0.00G	2.00H	0.00I	0.00J=0.00
0.00A	2.00B	0.00C	-2.00D	0.00E	0.00F	0.00G	0.00H	2.00I	0.00J=0.00
0.00A	0.00B	2.00C	-2.00D	0.00E	0.00F	0.00G	0.00H	0.00I	1.33J=0.00
2.00A	0.00B	0.00C	0.00D	0.00E	0.00F	0.00G	0.00H	0.00I	0.00J=1.00

图 14 重构后的星形网络基尔霍夫方程组

三、结果的拓展方向

1. 算法优化

在构建基尔霍夫方程组时，有些算法是较为复杂的，例如此处构造生成树采取了方便从边集直接出发的克鲁斯卡尔方法，若利用深度/广度遍历进行构造，时间复杂度会更小。对其他算法，或许亦有更优化的算法可以得出结果。

2. 更多化简方式的可能

所用的化简方式对度为 3 以内的结点已经基本完备了，但对度数更大的结点仍然难以简化。笔者有想过推广三角-Y 变换至度更多的情形，但此时结点减少反而会导致边数增加

(利用三角-Y 变换类似的思路可解出，对于度为 n 的结点，若想保证去除，需要新增 $\frac{n(n-1)}{2}$ 条边)，因此此思路无法进行。不过，这也引申出两种可能——第一，虽然三角-Y 变换去除

了多余的结点，但反向的 Y-三角变换或许也存在意义。在边不变的情况下增加结点数，会导致“好列”的第一方程增加，“难列”的第二方程减少。由此，在结点数以无法再减少的情况下，反向变换可能带来转机。第二，对于度更多的情况，可能也可以找到其中的基本结构而简化电路。

虽然如此，在普通电路网络中，往往会出现大量度数不高的结点，因此针对低度数结点的化简已经具有了重要意义。

3. 模拟含源电路

若网络的每条边上不止存在电阻，还存在电源，则后两类方程组需要进行一定的修正，在计算电势降低时将电源加入环路，即可得到模拟的电路情况。但是，此时又将面临由于方程组过大导致的复杂度提升。

注意到，若只有部分网络中存在电源，则不与含源边连线的结点依然可以做化简操作，由此引申出新的化简方式：

若要计算通过某个电源的电流，利用独立性原理，只需考虑每个电源单独存在时通过此支路的电流。由此，每次计算时最多只有四个结点（支路的两端点、电源的两端点）被固定，当结点数较大时，能起到的化简作用就不小了。

参考文献：

- [1] 严蔚敏、吴伟民. 数据结构(C语言版). 清华大学出版社, 2012.
- [2] 叶邦角. 电磁学(第2版). 中国科学技术大学出版社, 2018.

辅助材料列表：

Resistance.cpp 电阻网络求解全程序（通过改变主函数中文件名可测试不同样例）
sample.txt 网络样例
bridge.txt 非平衡电桥
bridge2.txt 平衡电桥
star.txt 星形网络